<平成19年度>

## 放線菌由来新規アシラーゼを用いたカプサイシン誘導体の 量産化と抗酸化性・抗菌性の検証

中西 一弘 · 今村 維克 · 今中 洋行 (岡山大学自然科学研究科)

#### 1. はじめに一研究の背景と目的

申請代表者らは、最近、放線菌 Streptomyces mobaraensis の培養上清中から単離した新規アシ ラーゼが、 唐辛子の辛み成分であるカプサイシン (8-methyl-N-vanillyl-6-nonenamide) を効率よく 加水分解することを見出した1)。本酵素のカプサ イシンに対する加水分解活性は、既に報告されて いるラット肝臓由来の Carboxyesterase 2) やブ タ腎臓由来アミノアシラーゼと比較して、100~ 10,000 倍程度高い。さらに、基質特異性について 検討を加えたところ、本酵素はカプサイシンだけ ではなく、N-脂肪アシルアミノ酸及びN-脂肪ア シルペプチドなどのアミド結合をも効率よく加水 分解する興味深い酵素であることがわかった。最 終的に、遺伝子解析の結果、本酵素は、広い基質 特異性を有する新規なペニシリンVアシラーゼ (以降, 本酵素を *Sm*-PVA と略する) であること が判明した<sup>3)</sup>。ペニシリンGアシラーゼなどの β-ラクタムアシラーゼは、アミド結合の加水分解 反応を触媒するだけではなく, エステル化合物 (アシル供与体) と求核性物質を基質とするエス テル交換反応をも触媒することが知られている<sup>4)</sup> ので、Sm-PVAも同じ反応を触媒することが推 定された。

本研究では、本酵素を用いてカプサイシン誘導 体の量産化に必要な技術的基盤を確立する。カプ サイシンはトウガラシに含まれる辛味成分であり、 代謝亢進作用、鎮痛作用、食欲増進作用・胃酸分 泌亢進作用など様々な機能を有することが、近年 明らかにされてきている<sup>5~7)</sup>。しかし、カプサイ シンの辛味がその利用の拡大を妨げている。カプ サイシンの脂肪酸部位(8-メチル-6-ノネン酸)が 中鎖もしくは長鎖飽和脂肪酸で置換されたカプサ イシン誘導体は、カプサイシンとしての機能は、 程度の差はあるものの維持されるが、辛味が大幅 に減少する。例えば、N-ラウロイルバニリルアミ ド (C12-vanillylamide) 及びN-ミリストイルバ ニリルアミド (C14-vanillylamide) は,カプサイ シンと比較して辛みが 1/20 程度であることが報 告されている5)。この様な背景の下で、国内の研 究者によりカプサイシン誘導体合成反応法につい て研究されてきたが、未だに十分な方法は開発さ れていない<sup>8,9)</sup>。そこで、本研究では、Sm-PVA を用いたカプサイシン誘導体の効率的合成に着目 した。当初、1)遺伝子組換え菌を用いた酵素の 量産、2)酵素の固定化とバイオリアクターによ る大量合成方法の構築を行い、3)調製したカプ サイシン誘導体を用いて、十分な検討がなされて いない抗酸化性や抗菌性の検証を最終目標とした が、下記に述べるように、遺伝子組換え菌による 酵素の大量発現が、予想していた以上に難しく、 酵素を大量に必要とする酵素の固定化と抗菌性に 関する検討は、予定通りに行うことができなかっ た。現在, 研究を続行しているので, 別の機会に 発表させて頂ければと考えている。

## 2. *Sm*-PVA を用いるカプサイシン誘導体合成 反応のスキーム

Sm-PVA は、カプサイシン(I)のアミド結 合の加水分解反応を触媒するだけではなく, エス テル交換反応も触媒する100。加水分解反応では、 カプサイシンから8-メチル-6-ノネン酸(Ⅱ)と バニリルアミン(Ⅲ)が生成する((1)式)。し たがって、カプサイシン誘導体を合成するために は、例えば、ラウリン酸(Ⅳ)とバニリルアミン から、加水分解反応の逆反応により、脱水縮合し て,カプサイシン誘導体であるラウロイルバニリ ルアミド(V)を生成することができる((1)'式)。 しかし、(1)′式の反応の平衡関係は、基質側(ラ ウリン酸とバニリルアミン)に偏っているので, 水溶液中での反応では、極めて、低い収率しか得 られないが、有機溶媒の添加などにより高い収率 を達成することが可能となる 11,12)。実際,本反応 系では、緩衝液に水不溶性有機溶媒であるヘキサ ンを添加すると、カプサイシン誘導体の合成収率 が著しく増加する1)。20 mM バニリルアミンと 200 mM ラウリン酸を基質として、ヘキサン

/100 mM トリス緩衝液,pH7中,37℃で反応を行うと,最大収率約60%でラウロイルバニリルアミドが合成される。しかも,反応後期には,生成物はヘキサン中に結晶として生成する。しかし,本方法の問題点は,有機溶媒(上記の場合はヘキサン)の添加が必要であること及び合成反応速度が低いことである。

一方、上述したように、Sm-PVA はエステル交換反応も触媒する。本酵素を用いると、水溶液中での反応で、中鎖・長鎖脂肪酸メチル(エチル)エステルをアシル供与体、バニリルアミンを求核試薬としてカプサイシン誘導体を、効率よく合成できることが期待される。図1にエステル交換反応のスキームを示す。フェノキシ酢酸メチルエステルをアシル供与体、6-アミノペニシラン酸を求核基質としたエステル交換反応によりペニシリン V を合成するモデル反応の結果によると、Sm-PVA は  $\alpha = (k_{\text{cat}}/K_{\text{m}})_{\text{P}}/(k_{\text{cat}}/K_{\text{m}})_{\text{S}}$ の値が小さく、一方、 $\beta = k_4/k_3K_{\text{n}}$  は大きいことから、転移能が高い酵素であることが明らかにされている  $^{10}$  。

#### 3. 酵素の構造

図1 エステル交換反応モデル カプサイシン誘導体合成反応の場合は、アシル供与体として脂肪酸メチルエステルを、求 核基質としてバニリルアミンを用いる。加水分解物(副生成物)は、脂肪酸である。

Sm-PVA の遺伝子の塩基配列及び発現タンパ ク質のドメイン構造は、既に、申請者らにより明 らかにされている<sup>3)</sup>。Sm-PVA 遺伝子の ORF (オ ープンリーディングフレーム) は,2445 bp, ア ミノ酸配列として 814 残基である。本遺伝子に より翻訳される酵素前駆体ポリペプチドは、N末 端からシグナル配列(43 aa),α サブユニット (173 aa), リンカー領域 (28 aa), βサブユニッ ト (570 aa) からなる。この酵素前駆体はS. mobaraensis の細胞膜を通過する際に、シグナル 配列が切断される。細胞内で, α サブユニット及 び $\beta$ サブユニットが生成・会合することにより、 酵素活性体を形成し、菌体外に分泌されるものと 考えられる。Signal P3.0 で調査したところ, α サブユニットの N 末端側 16 残基が分泌のための シグナルペプチドを構成していることも判明した。 さらに、本酵素のアミノ酸配列を、DNASIS® Pro を用いて Multiple alignment したところ, 上 述したように、N-アシルホモセリンラクトンア シラーゼ, アクレアシン A アシラーゼ, セファ ロスポリンアシラーゼ及びペニシリンGアシラ ーゼなどの β-ラクタムアシラーゼと同じ酵素前 駆体の構造をとるだけではなく、比較的高い相同 性を示した。さらに、Sm-PVA は $\beta$ -ラクタムア シラーゼにみられる活性部位を形成する Ser1β,  $His23\beta$ ,  $Val70\beta$ 及び  $Asn276\beta$ も保存している ことがわかった。これらの知見に基づいて、 $\beta$ -ラ クタム系抗生物質に対する加水分解活性を調べた ところ、本酵素はペニシリン V 及び既往のペニ シリンVアシラ-ゼの良好な基質である, NIPOAB (2-Nitro-5-phenoxyacetamido benzoic acid)に対して極めて高い活性を示した<sup>3)</sup>。これ らの結果から、本酵素は、広い基質特異性を有す る新規なペニシリンVアシラーゼであることが 判明した。

#### 4. 実験方法

4.1 遺伝子組換え菌の調製及び *Sm*-PVA の発 現と精製

Sm-PVA のような放線菌由来の酵素は、コー ディング領域中に大腸菌などの宿主におけるレア コドンを多く含み, GC 含量も比較的高いことか ら, 異種宿主を用いた大量発現系の構築は困難な 場合多い。そこで本研究では先ず、同属の放線菌 S. lividans TK24を宿主, Heraiらの開発した pSH19<sup>13)</sup> を発現用ベクターとする宿主 - ベクタ 一系を利用することとした。インサートとして, Sm-PVA の全 ORF を含む遺伝子断片( $S\alpha L\beta$ ), シグナルペプチドを欠失した Sm-PVA 遺伝子断 片  $(\alpha L\beta)$  及びシグナルペプチドおよびリンカー ペプチドを欠失した Sm-PVA 遺伝子断片  $(\alpha\beta)$ の3種類を調製した。各遺伝子断片をpSH19に 挿入して構築した発現ベクター pSH19-S $\alpha$ L $\beta$ , pSH19- $\alpha$ L $\beta$  および pSH19- $\alpha\beta$  を用いて、あらか じめ調製したプロトプラストの形質転換を行い, 組換え Sm-PVA (rSm-PVAsl) 発現用の放線菌 (S. lividans/pSH19-SαLβ, S. lividans/pSH19- $\alpha L \beta$  及び S. lividans/ pSH19- $\alpha \beta$ ) を調製した。 S. lividans/pSH19-PVAの胞子懸濁液を20 μg/ mL チオストレプトンを含む30 mL TSB培地 /100 mL 坂口フラスコに植菌し, 30℃で2~3 日間本培養した。 $\varepsilon$ -カプロラクタムまたはイソバ レロニトリルを用いて、タンパク質発現を誘導し た。菌体及び培養上清を回収し、菌体懸濁液を超 音波処理した後、可溶性画分を取得した。培養上 清および可溶性画分を用いて SDS-PAGE ならび に活性測定を行い、目的タンパク質の発現等の検 討を行った。

4.2 遺伝子組換え大腸菌の調製と Sm-PVA の 発現

Sm-PVA とサブユニット構造が類似の大腸菌

由来ペニシリンGアシラーゼ組換え体の発現例  $^{14)}$  を参照し、大腸菌を用いた発現系の構築を試みた。まず、Sm-PVA遺伝子の $\alpha$  サブユニット及び $\beta$  サブユニットをコードする遺伝子断片に制限酵素認識配列を付加し、それぞれサブクローニングした。そして、4 アミノ酸残基より構成されるリンカー(Linker)コーディング配列を間に含み、 $\beta$ -Linker- $\alpha$  の順に配列させた遺伝子断片を pET22b ベクターに挿入し、発現用ベクター pET-SC $\beta$ L $\alpha$  を構築した。宿主として、大腸菌のレアコドンに対応した E. coli Rosetta2(DE3)(Novagen)を用いた。pET-SC $\beta$ L $\alpha$  を用いて形質転換を行い、得られた形質転換体の培養を行った。終濃度 0.1 mM o IPTG の添加により、目的タンパク質(rSm-PVAec)の発現を誘導した。

## 4.3 エステル交換反応を用いたカプサイシン 誘導体の合成

アシル供与体の脂肪酸エステルとして, オクタ ン酸メチルエステル、ラウリン酸メチルエステル 及びミリスチン酸メチルエステルを,一方,バニ リルアミンを求核基質として用い, エステル交換 反応を行い、 それぞれの飽和脂肪酸によりカプサ イシンの脂肪酸部位が置換されたカプサイシン誘 導体合成反応を行った。反応初期の脂肪酸エステ ルの濃度は20 mM, バニリルアミンの濃度は40 mM, 酵素濃度は 4 U/mL - 反応溶液で, pH7, 30℃の条件で反応を行い、反応中の基質濃度及び 生成物濃度の経時変化を追跡した。脂肪酸エステ ル及び生成物の分析は、高速液体クロマトグラフ ィーにより行った。YMC-Pack C8 A-202 (4.6 mm × 150 mm) を用い, 移動相としては, 0.05 %リン酸を含む 50~80% メタノールを用い, 210 nm で検出した。

#### 4.4 抗酸化性の検証

カプサイシン及びカプサイシン誘導体のラウロ イルバニリルアミドを, 0.25% (wt/vol), 0.5% 及び 1%に溶解したリノール酸メチルを,ショ糖エステルを含むリン酸緩衝液 pH7.0 中に分散させてエマルション(終油含量;3%)を調製した。このエマルションに AAPH(2,2-azolebis(2-aminopropane)dihydrochlorideを添加し,脂質酸化を誘導した。37%で48時間後の過酸化物価(POV)及びチオバルビツール酸(TBA)を測定した。

#### 5. 実験結果と考察

# 5.1 遺伝子組換え菌の調製及び Sm-PVA の発現と精製

形 質 転 換 体 S. lividans/pSH19-S $\alpha$ L $\beta$ , S. lividans/pSH19-αLβ及 びS. lividans/ pSH19-αβ を用いて rSm-PVAsl の発現を調べた。TSB 培地 を用いて前培養および本培養を行った後、0.1%  $\varepsilon$ -カプロラクタムまたはイソバレロニトリルを添 加し,30℃で24時間誘導を行った。図2に,培 養上清及び可溶性画分中に含まれる酵素活性を比 較した結果を示す。ネガティブコントロールであ る No.1~4 では目的酵素をコードする遺伝子が 組み込まれていないので、全く活性が見られない。 一方, 形質転換体 S. lividans/pSH19-SαLβ を用い,  $\varepsilon$ -カプロラクタムまたはイソバレロニトリルで誘 導した場合 (No.6, 7) に,培養上清,可溶性画 分のどちらにおいても酵素活性が認められた。特 に、イソバレロニトリルで誘導した場合に、培養 上清において、最も高い酵素活性が認められた (1.3 U/mL)。しかし, 形質転換体 S. lividans/ pSH19- $\alpha$ L $\beta$  及びS. lividans/pSH19- $\alpha\beta$ を用いた 場合には、rSm-PVAslの発現は確認できなかった。

そこで、rSm-PVAsl の発現量を増やすため、 形質転換体 S. lividans/pSH19-S $\alpha$ L $\beta$  の培養におい て、本培養の培地組成、本培養の時間、フラスコ の容量、誘導剤の濃度、誘導時間などについて検 討を行った。その結果、TSB 培地中で 30  $\mathbb{C}$  、2

No.	形質転換体	誘導剤(0.1%)
1	S. lividans	ε-カプロラクタム
2	S. lividans	イソバレロニトリル
3	S. lividans/pSH19	ε-カプロラクタム
4	S. lividans/pSH19	イソバレロニトリル
5	S. lividans/pSH19-SαLβ	なし
6	S. lividans/pSH19-SαLβ	ε-カプロラクタム
7	S. lividans/pSH19-SαLβ	イソバレロニトリル
8	S. $lividans/pSH19-\alpha L\beta$	なし
9	S. lividans/pSH19-αLβ	ε-カプロラクタム
10	S. $lividans/pSH19-\alpha L\beta$	イソバレロニトリル
11	S. lividans/pSH19-αβ	なし
12	S. lividans/pSH19-αβ	ε-カプロラクタム
13	S. lividans/pSH19- $\alpha\beta$	イソバレロニトリル

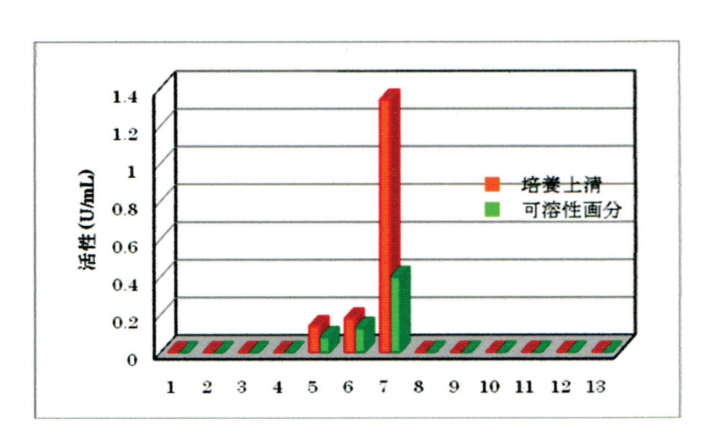


図2 rSm-PVAsl の発現確認

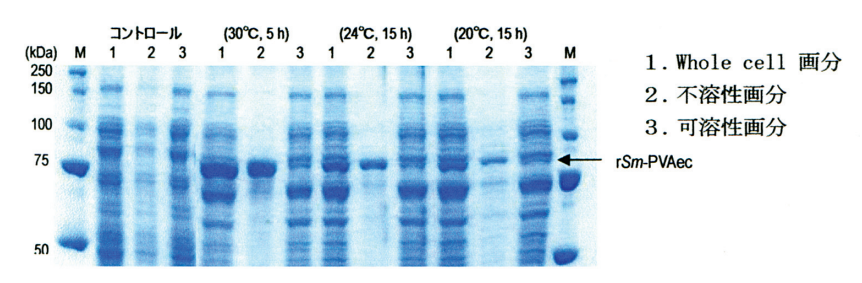


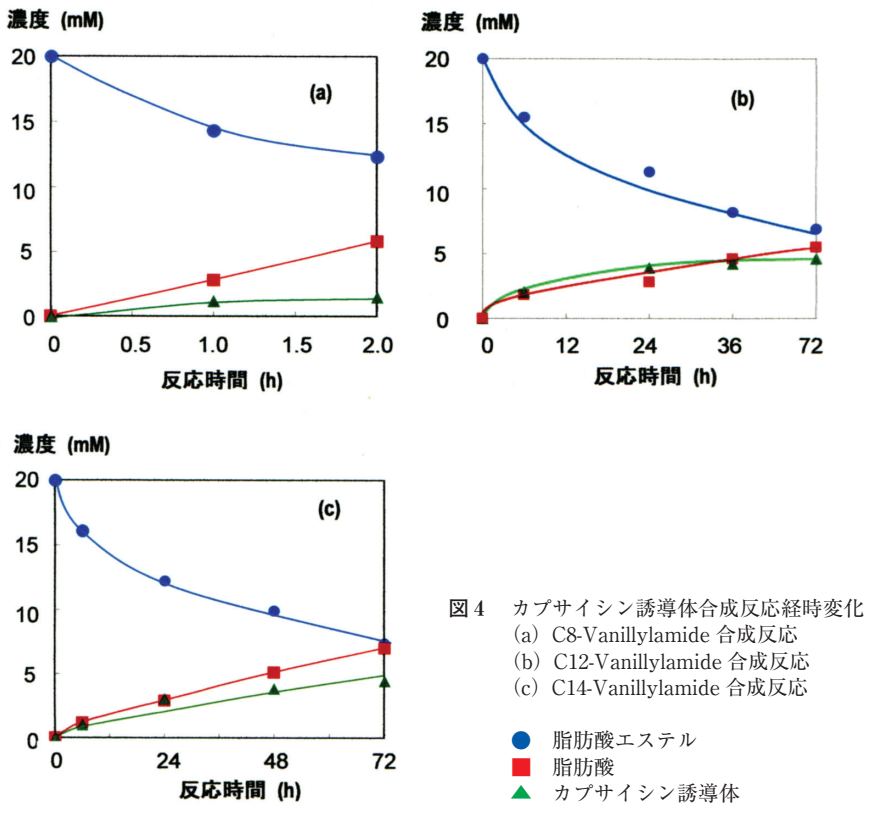
図3 SDS - PAGE による rSm-PVAec の発現確認

~ 2.5 日間本培養後, 0.01% イソバレロニトリル で 24 時間誘導することにより, 最大 2.0 U/mL の酵素活性が得られた。しかし、野生株を培養し て得られる酵素活性と比較して十分高いとはいえ ない。その理由の一つとして、翻訳後のタンパク 質のプロセッシングに問題があるのではないかと 考え, 形質転換体 S. lividans/pSH19-SaLβ の培養 上清から組換え PVA (rSm-PVAsl) を精製した。 このため、rSm-PVAslの比活性は、野生型 PVA のおよそ半分であることが判明した。また, rSm-PVAslの N末端アミノ酸解析を行ったとこ ろ,シグナルペプチドの切断位置が野生型酵素と は異なるαサブユニットが主に発現しているこ とが分かった。したがって、野生型 PVA に比べ、 rSm-PVAslの比活性が低いのではないかと考え られる。

### 5.2 遺伝子組換え大腸菌の調製と Sm-PVA の 発現

形 質 転 換 体 E.~coli Rosetta2 (DE3) /pET-SC $\beta$ L $\alpha$  を用いて組換え PVA (rSm-PVAec) の

発現を試みた。発現の誘導条件を 20℃, 15 時間, 24℃, 15 時間及び 30℃, 5 時間とし, 発現後の 各種分画サンプルを SDS-PAGE に供し、rSm-PVAec の発現量,可溶化度について調べた。そ の結果、温度を下げることによって、rSm-PVAec の発現量は低下したものの、可溶化率の 向上がみられた(図3)。そこで、可溶性画分を 用いて活性測定を行ったが、目的の酵素活性は検 出されなかった。本タンパク質(Sm-PVA)は野 生型ではヘテロ二量体であり、適切な4次構造の 形成がタンパク質の成熟過程で必須となる。一方, rSm-PVAec は一本鎖ポリペプチドとして発現さ せているため、4次構造の形成は必要ではなく、 適切な3次構造形成のみが要求される。すなわち, 活性体が得られなかった原因としてはフォールデ ィングが不十分であることが考えられた。そこで、 現在は大量に回収可能で高純度な不溶化 rSm-PVAec を用いてリフォールディング条件を検討 することにより、rSm-PVAec 活性体が取得でき るものと考えられる。



5.3 エステル交換反応を用いたカプサイシン 誘導体の合成

図4 (a)~(c) には、アシル基転移反応によるオクタン酸メチルエステル、ラウリン酸メチルエステルとバニリルアミンからのカプサイシン誘導体合成反応の経時変化を示す。いずれの場合も、反応初期から基質の飽和脂肪酸濃度が経時的に低下し、一方、目的生成物のカプサイシン誘導体と加水分解物の飽和脂肪酸が増加している。しかし、飽和脂肪酸は経時的に増加しているが、カプサイシン誘導体は最大値に漸近していることがわかる。これらの結果は、エステル化合物の生成と加水分解反応が同時に競争的に進行するエステル交換反応の典型的なパターンである。基質の違いによるエステル交

換反応の経時変化を比較すると、炭素数の少ないオクタン酸メチルエステルを用いた場合に、最もカプサイシン誘導体の合成初速度は速いものの、最大収率は10%程度で最も低くなっている。これは、基質のラウリン酸メチルだけではなく、生成物のラウロイルバニリルアミンの溶解度も高いために、加水分解反応が、より優先的に起こるためであると考えられる。表1に初期合成速度、カプサイシン誘導体の最大収率及び合成速度と加水分解速度の比、S/Hをまとめて示す。

#### 5.4 抗酸化性の検証

先ず、コントロールの何も加えない場合の POV を測定したところ、212 meq./kg であった。 一方、カプサイシン及びラウロイルバニリルアミ ドを 1%添加した系では、コントロールと比較し

表1 アシル基転移反応を用いたカプサイン誘導体合成反応速度

脂肪酸エステル (アシル供与体)	カプサイシン誘導体	初期合成速度 (10 <sup>5</sup> M/h/M)	最大収率 (%)	S/H
Methyl <i>n</i> -octanoate	C8-vanillyalamide	0.24	7.5	0.26
Methyl n-laurate	C12-vanillylamide	0.15	23	0.91
Methyl <i>n</i> -myristate	C14-vanillyalamide	0.081	22	0.63

て, 1/20 以下の 6.3 meq./kg 及び 8.3 meq./kg と 著しく低い値を示した。

また、TBA を測定した場合には、コントロールでは、最大  $33~\mu M$  に達したが、カプサイシン及びラウロイルバニリルアミドを 1%添加した系では、約 1/100 程度の  $0.4~\mu M$  以下であり、二次酸化生成物は殆ど生成していないことが示唆された。

なお、0.5%添加時にもカプサイシン及びラウロイルバニリルアミドはともに POV 及び TBA 値をほとんど上昇させなかったが、0.25% 添加時には、脂質酸化を完全に抑制することはできなかった。以上の結果から、合成カプサイシン誘導体のラウロイルバニリルアミドは、カプサイシンとほぼ同程度の酸化抑制効果を有することがわかった。

#### 6. 今後の展開

本研究で取り扱った放線菌, S. mobaraensis 由 来のペニシリン V アシラーゼは、カプサイシン の加水分解を極めて効率よく触媒するだけではな く, アシル基転移反応も触媒する。このアシル基 転移反応を利用すると, 水溶液中でもアミド化合 物合成反応を効率よく触媒するので, 食品関連素 材物質の生産にとって非常に魅力的である。本研 究では, 飽和脂肪酸メチルエステルとバニリルア ミンからエステル交換反応によりカプサイシン誘 導体が合成できることを確認した。次に, S. mobaraensis の野生株からの酵素の生成量は極め て少量であるので, 大量発現を目指して放線菌 S. lividans と E. coli を宿主とする新規なコンセプ トの遺伝子組換え菌を作成した。S. lividans を宿 主とする遺伝子組換え菌では、その程度は十分で はないもののタンパク質発現と活性発現にも成功 した。しかし、精製酵素の比活性は野性株酵素の 50%程度であった。この原因として、シグナルペ

プチドの切断箇所が野性型酵素とは異なる場所で切断されていることが示唆された。大腸菌では、放線菌を用いた発現時に比べ、発現量が著しく増加したものの、活性体の取得には至っていない。そのため、現在、大量に回収可能で高純度な不溶化 rSm-PVAec を用いてリフォールディング条件を検討し、rSm-PVAec 活性体の取得を目指している。

#### 謝辞

本研究を遂行するにあたり、研究助成を賜りました浦上食品・食文化振興財団に心より感謝申し上げます。実験に使用しました放線菌発現ベクター pS19 をご供与頂きました筑波大学小林達彦教授に感謝致します。

#### 文 献

- Koreishi M., D. Zhang, H. Imanaka, K. Imamura, S. Adachi, R. Matsuno, and K. Nakanishi. A novel acylase from *Streptomyces mobaraensis* that efficiently catalyzes hydrolysis/synthesis of capsaicins as well as *N*-acyl-Lamino acids and *N*-acyl-peptides. *J. Agric. Food Chem.*, 54, 72 (2006).
- 2) Park, Y.-H. and S.-S. Lee. Identification and characterization of capsaicin-hydrolyzing enzymes purified from rat liver microsomes. *Biochem. Mol. Biol. Int.*, 34, 351 (1994).
- 3) Zhang D., M. Koreishi, H. Imanaka, K. Imamura and K. Nakanishi. Cloning and characterization of penicillin V acylase from *Streptomyces mobaraensis*. *J. Biotechnol.*, 128, 788 (2007).
- 4) Youshko, M. I., G. G. Chilov, T. A. Shcherbakova, and V. K. Svedas. Quantitative characterization of the nucleophile reactivity in penicillin acylase-catalyzed acyl transfer reactions. *Biochem. Biophys. Acta*, 1599, 134 (2002).
- 5) Watanabe, T., T. Kawada, T. Kato, T. Harada, and K. Iwai. Effects of capsaicin analogs on adrenal catecholamine secretion in rats. *Life Sci.*, 54, 369 (1994).
- 6) Minowa, S., S. Tsuchiya, S. Horie, K. Watanabe, and T.

- Murayama. Stimulatory effect of centrally injected capsaicin, an agonist of vanilloid receptors, on gastric acid secretion in rats. *Eur. J. Pharmacol.*, 428, 349 (2001).
- 7) Winter, J., S. Bevan, and E.A. Campbell. Capsaicin and pain mechanisms. *Br. J. Anaesth.*, 75, 157 (1995).
- Kobata, K., K. Yoshikawa, M. Kohashi, and T. Watanabe. Enzymatic synthesis of capsaicin analogs with liver acetone powder. *Tetrahedron Lett.*, 37, 2789 (1996).
- 9) Kobata, K., M. Kawamura, M. Toyoshima, Y. Tamura, S. Ogawa, and T. Watanabe. Lipase-catalyzed synthesis of capsaicin analogs by amidation of vanillylamine with fatty acid derivatives. *Biotechnol. Lett.*, 20, 451 (1998).
- 10) Koreishi M., K. Tani, Y. Ise, H. Imanaka, K. Imamura and K. Nakanishi. Enzymatic synthesis of beta-lactam antibiotics and N-fatty-acylated amino compounds by penicillin V acylase from *Streptomyces mobaraensis*. *Biosci. Biotechnol. Biochem.*, 71, 202 (2007).

- 11) Nakanishi, K., Y. Kimura, and R. Matsuno. Kinetics of enzymatic synthesis of peptides in aqueous/organic biphasic systems. Thermolysin-catalyzed synthesis of N-(benzyloxycarbonyl) -L-aspartyl-L-phenylalanine methyl ester. *Eur. J. Biochem.*, 161, 541 (1986).
- 12) Miyanaga, M., M. Ohmori, K. Imamura, T. Sakiyama, and K. Nakanishi.Kinetics and equilibrium for thermolysin-catalyzed synthesis of dipeptide precursors in aqueous/organic biphasic systems. *J. Biosci. Bioeng.*, 90, 43 (2000).
- 13) Herai, S., Y. Hashioto, H. Higashibata, H. Maseda, H. Ikeda, S. Omura, and M. Kobayashi. Hyper-inducible expresiion system for *Streptomyces*. *Proc. Natl. Acad. Sci. USA*, 101, 14031 (2004).
- 14) Flores, G., X. Soberón, and J. Osuna. Production of a fully functional, permuted single-chain penicillin G acylase. *Protein Sci.*, 13, 1677 (2004).

Fundamental studies on enzymatic synthesis of capsaicin derivatives using a novel acylase from *Streptomyces mobaraensis* and elucidation of their functions

Kazuhiro Nakanishi, Koreyoshi Imamura and Hiroyuki Imanaka (Division of Chemistry and Biochemistry, Graduate School of Natural Science and Technology, Okayama University)

We have recently isolated a novel acylase from the culture supernatant of an actinomycete, Streptomyces mobaraensis that can efficiently hydrolyze an amide bond of capsaicine (8-methyl-N-vanillyl-6-nonenamide) in addition to penicillin V, Penicillin G, N-fatty-acyl amino acids/peptides. On the basis of the nucleic acid/amino acid sequences, polypeptide organization, and substrate specificity, the enzyme from S. mobaraensis (abbreviated to Sm-PVA) was classified as a novel type penicillin V acylase belonging to the  $\beta$ -lactam acylase familiy. Furthermore, Sm-PVA catalyzes acyl-transfer reaction in reactions using methyl ester of carboxylic acid (acyl donor) and various nucleophiles to produce the corresponding amides. Thus, we planned to synthesize capsaicine derivatives by the Sm-PVA catalyzed acyl-transfer reaction in an aqueous solution. Capsaicine derivatives are known to possess various functions, such as enhancing energy metabolism and analgesic activity like capsaicine with much reduced pungent taste. We carried out the acyl transfer reaction in an aqueous buffer, using methyl esters of octanoic acid, lauric acid, and myristic acid as the acyl donor and vanillylamine as the nucleophile. The maximum yields of octanoyl vanillyalamide, lauroyl vanillylamide, and myristoyl vanillyl amide from 20 mM fattyacid methyl esters and 40 mM vanillyal amine were 7.5%, 23%, and 22%, respecticely. The synthesized lauroyl vanillyl amide showed high antioxydative function in a similar way to capsaicine. The POV value was respectively decreased to 6.3 and 8.3 meg./kg by addition of 1% capsaicine and 1% lauroyl vanillylamide from 212 meq./kg for control without additives. To increase the enzyme production, we prepared two kinds of recombinant cells of S. lividans and Escherichia coli. In the recombinant S. lividans cells, Sm-PVA was produced at a level of 2.0 U/mL. However, the specific activity of the purified enzyme was approximately a half that of the wild-type enzyme. In the recombinant E. coli cells, we could express to more extent by expressing the protein as a single-polypeptide by removing an internal spacer. However, the expressed enzyme did not show any activity. Refolding of the enzyme would be necessary, which is being undertaken.